



UNITED NATIONS EDUCATIONAL, SCIENTIFIC AND CULTURAL ORGANIZATION  
INTERNATIONAL ATOMIC ENERGY AGENCY  
INTERNATIONAL CENTRE FOR THEORETICAL PHYSICS  
I.C.T.P., P.O. BOX 586, 34100 TRIESTE, ITALY, CABLE: CENTRATOM TRIESTE



**SMR.998d - 11**

Research Workshop on Condensed Matter Physics  
30 June - 22 August 1997  
**MINIWORKSHOP ON**  
**QUANTUM WELLS, DOTS, WIRES**  
**AND SELF-ORGANIZING NANOSTRUCTURES**  
**11 - 22 AUGUST 1997**

---

**"Optical Properties and Tunnelling Spectroscopy  
of self-assembled InAs Quantum Dots"**

**PART I**

**L. EAVES**  
**The University of Nottingham**  
**Department of Physics**  
**University Park**  
**NG7 2RD Nottingham**  
**U.K.**

---

**These are preliminary lecture notes, intended only for distribution to participants.**

MAIN BUILDING STRADA COSTIERA, 11 TEL. 2240111 TELEFAX 224163 TELEX 460392 ADRIATICO GUEST HOUSE VIA GRIGNANO, 9 TEL. 224241 TELEFAX 224531 TELEX 460449  
MICROPROCESSOR LAB. VIA BEIRUT, 31 TEL. 2249911 TELEFAX 224600 TELEX 460392 GALILEO GUEST HOUSE VIA BEIRUT, 7 TEL. 2240311 TELEFAX 2240310 TELEX 460392  
ENRICO FERMI BUILDING VIA BEIRUT, 6 (TELEPHONE, FAX AND TELEX THROUGH MAIN BUILDING)



## **OPTICAL PROPERTIES AND TUNNELLING SPECTROSCOPY OF SELF-ASSEMBLED InAs QUANTUM DOTS**

**L. Eaves**

Department of Physics, University of Nottingham, UK

### **Collaborators:**

**Nottingham:** T. Ihn, S. T. Stoddart, I. E. Itskevich,  
A. Thornton, M. Henini, H. A. Carmona,  
P. C. Main

**Grenoble:** D. K. Maude, J. C. Portal

- Overview of optical and structural properties of quantum dots and their energy levels
- Reducing the PL linewidth
- Resonant tunnelling through individual dot states
- Using quantum dots to probe many-electron effects in a 2D electron gas at fractional Landau filling factors

# Zur Theorie der orientierten Ausscheidung von Ionenkristallen aufeinander

Von

L. N. STRANSKI und L. KRASANOW

Aus dem Phys.-chem. Institut der Universität Sofia

Mit 8 Figuren im Text

(Eingegangen am 16. 2. 1932. Veröffentlicht in der Edition am 28. 4. 1933)

## 1. Einleitung und Problemstellung.

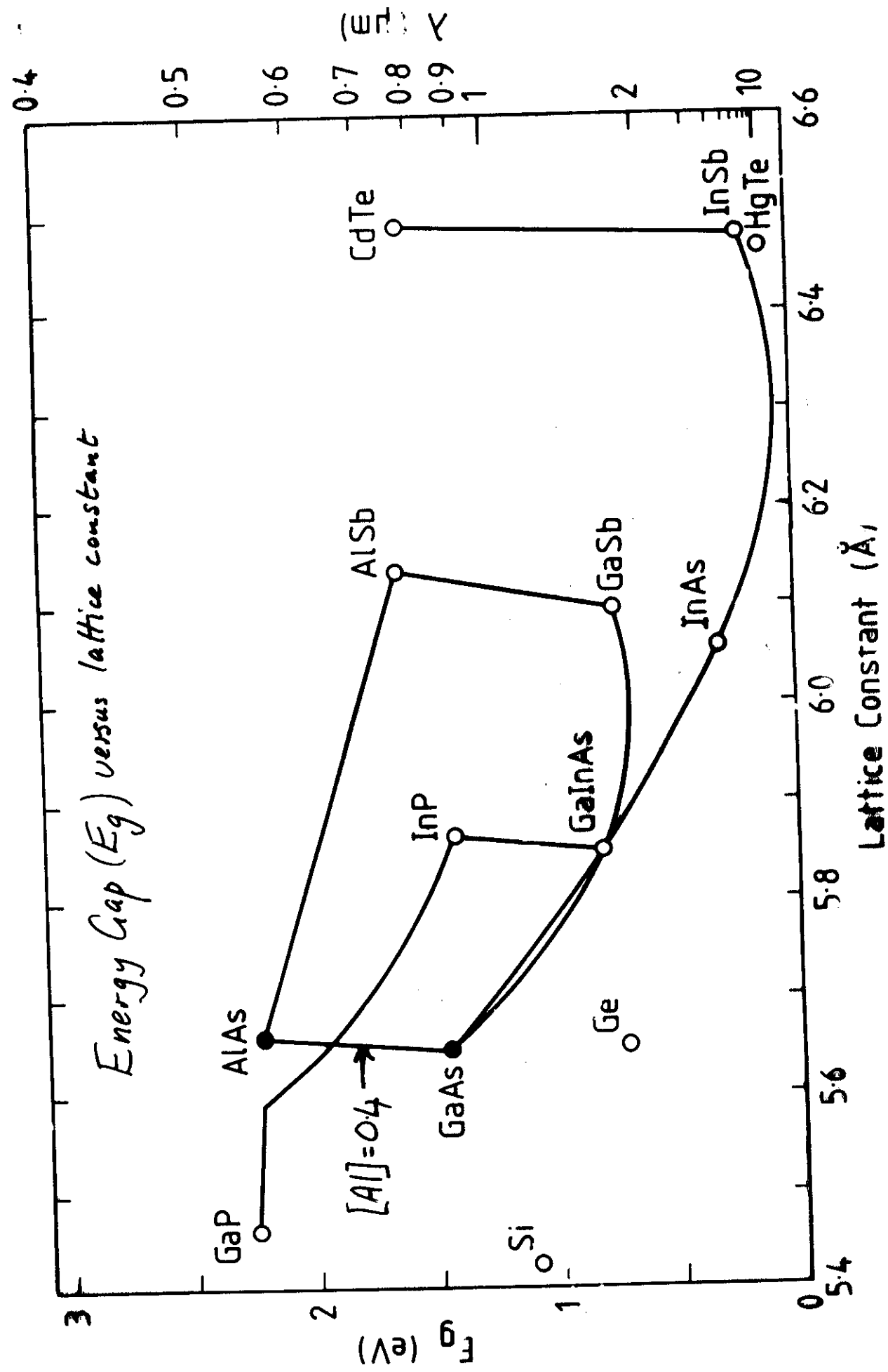
Die Vorgänge bei der orientierten Ausscheidung von Ionenkristallen aufeinander wurden vor einigen Jahren von dem einen von uns einer genaueren theoretischen Untersuchung unterzogen<sup>1</sup>. Es ergab sich dabei, daß man einer jeden einzelnen Netzebene des über fremder Unterlage wachsenden Kristalls einen gesonderten Sublimationsdruck (bzw. Löslichkeit) zuschreiben muß. Mit Hilfe dieser Sublimationsdrücke (bzw. Löslichkeiten) ließen sich dann die Bildungsmöglichkeiten der einzelnen Netzebenen genauer angeben und daraus auch eine Reihe weiterer einfacher und übersichtlicher Schlüsse ziehen<sup>2</sup>.

Das wichtigste Ergebnis davon soll hier an Hand des folgenden einfachen Beispiels, das uns auch weiter unten dienen wird, erläutert werden. Es seien die Ionenkristalle Kt' An' und Kt" An" gegeben, die beide das NaCl-Gitter und die gleichen Gitterkonstanten haben sollen. Die Ladungen der Ionen sollen aber in beiden Fällen verschieden sein (beim Kt' An' einfach und beim Kt" An" doppelt), d. h. die Kristalle sind im GRIMMSEN Sinne isomorph.

Scheidet sich nun Kt' An' über einem Kt" An"-Kristall aus, und zwar über der Würfelfläche, die in diesem Falle die einzige Gleichgewichtsformfläche ist, so wird die erste Netzebene einen bedeutend kleineren Dampfdruck  $p_1$  als den Dampfdruck  $p_\infty$

<sup>1</sup> I. N. Stranski, Z. physik. Chem. A 142 (1929) 453; Bookstak-Festbd. (1931) 230.

<sup>2</sup> Hier sei insbesondere auf den Bericht von H. Seitzer über „Die anomalen Mischkristalle“ verwiesen, erschienen in Fortschr. d. Min., Krist. u. Petrogr. 19 (1935) 103–182 (I. Teil); 20 (1936) 324–455 (II. Teil); 22 (1937) 185–488 (III. Teil). In diesem Bericht sind die vielfachen Erfahrungen aus dem Gebiete der Mischkristallbildung und Kristallaufwachsung in ausgezeichneter Weise zusammengestellt und auch durch eigene Untersuchungen ergänzt.

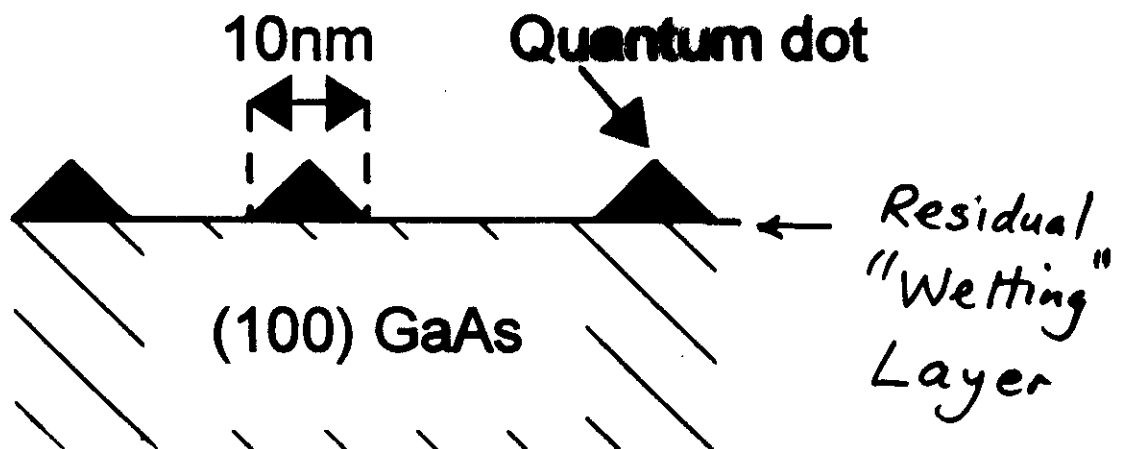


# Stranski-Krastanov (Self-Organised) MBE Growth of InAs Quantum Dots on (100) GaAs

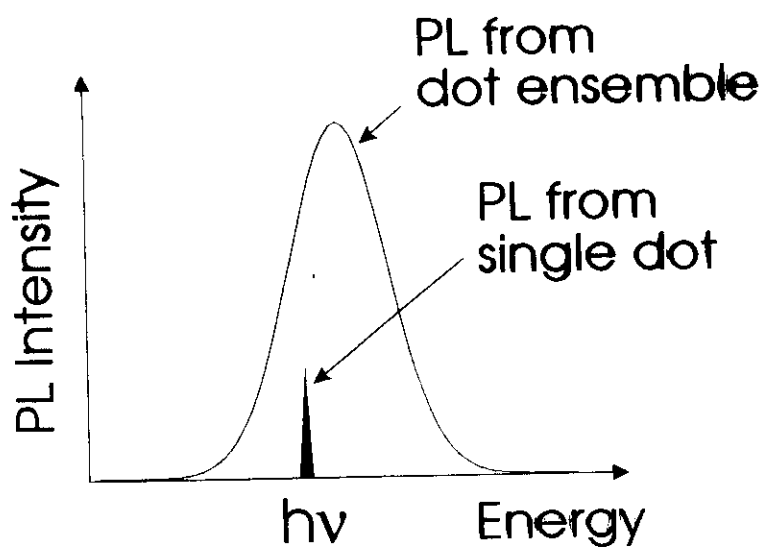
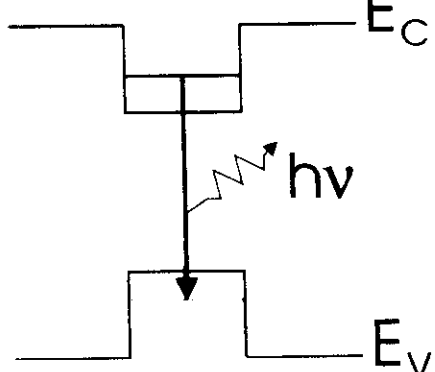
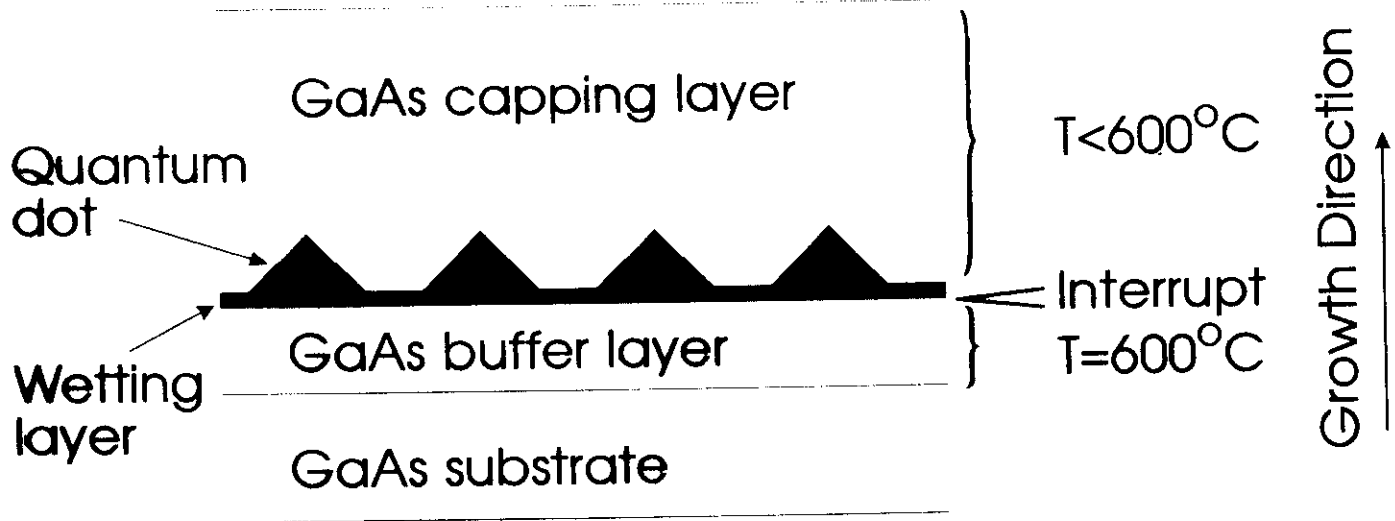
No islands at ~1 monolayer InAs

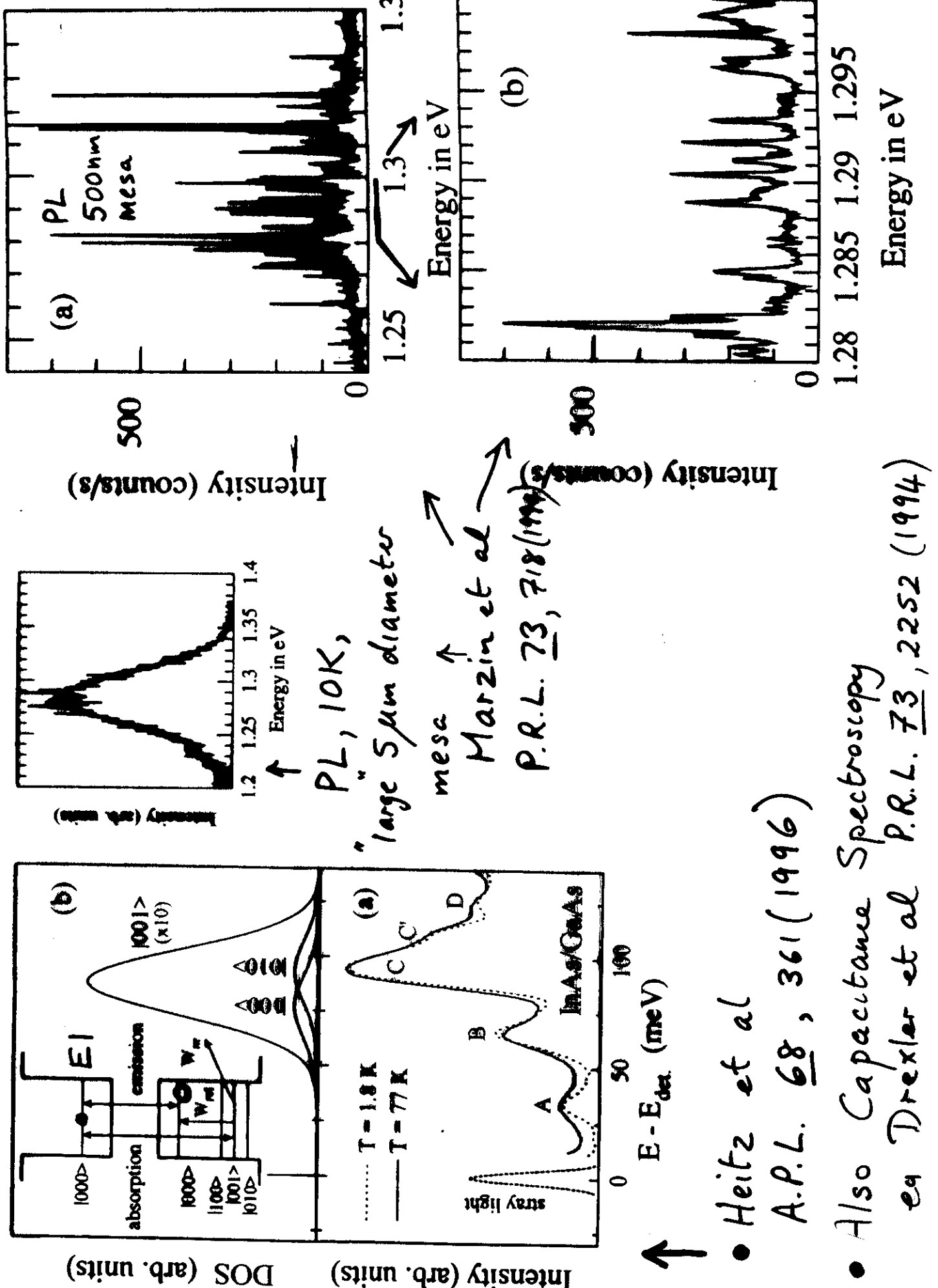


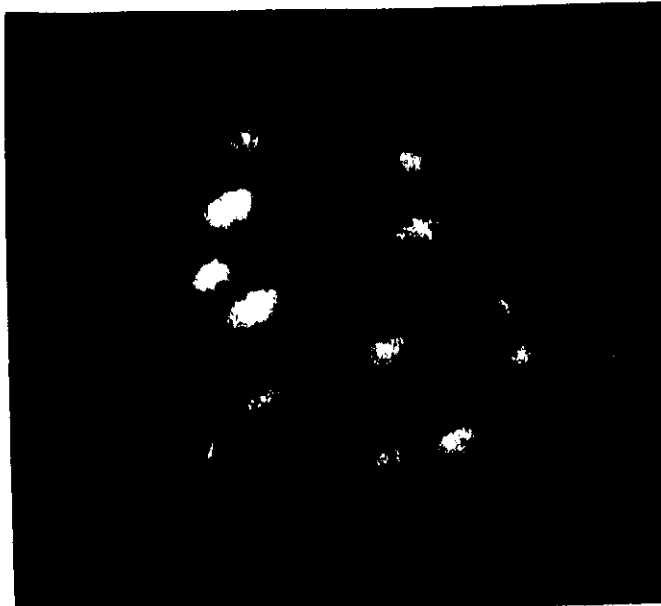
Islands form at ~ 1.7 InAs monolayers



# Dot growth and PL

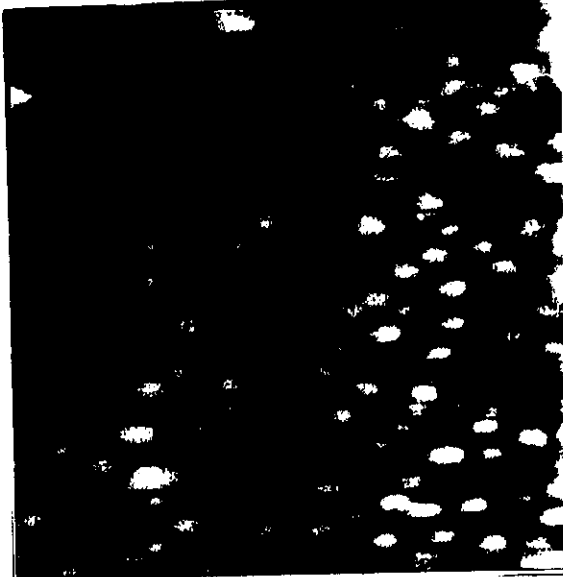




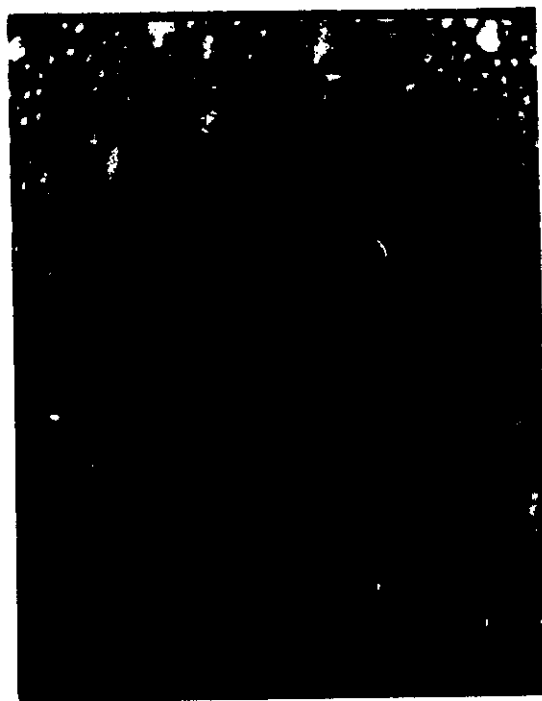


**Figure 1(a)** STM image of surface of 2.4 monolayers of InAs on GaAs (square size  $1000 \text{ \AA} \times 1000 \text{ \AA}$ ).

STM: P. Moriarty  
P. H. Beton

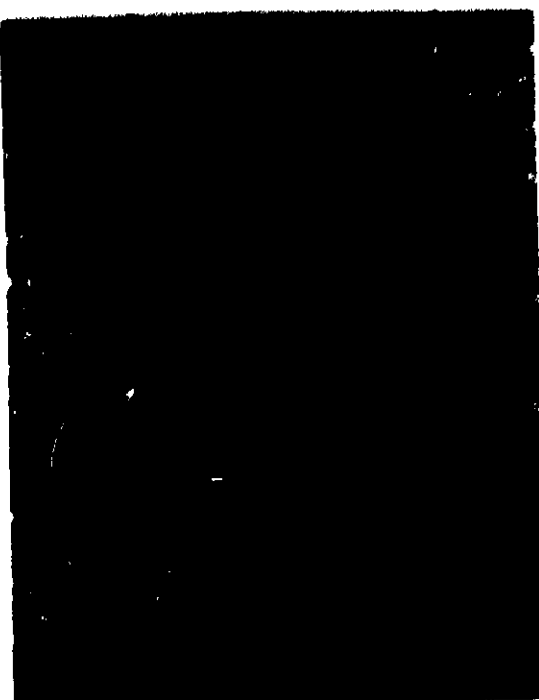


**Figure 1(b)** STM image of surface of 2.4 monolayers of InAs on GaAs (square size  $2000 \text{ \AA} \times 2000 \text{ \AA}$ ), showing uniformity of island coverage.



**Figure 1(c)** SEM image of surface of 2.4 monolayers of InAs on GaAs (square size  $\sim 4500 \text{ \AA} \times 4500 \text{ \AA}$ ). This shows merging of the islands to form larger clusters.

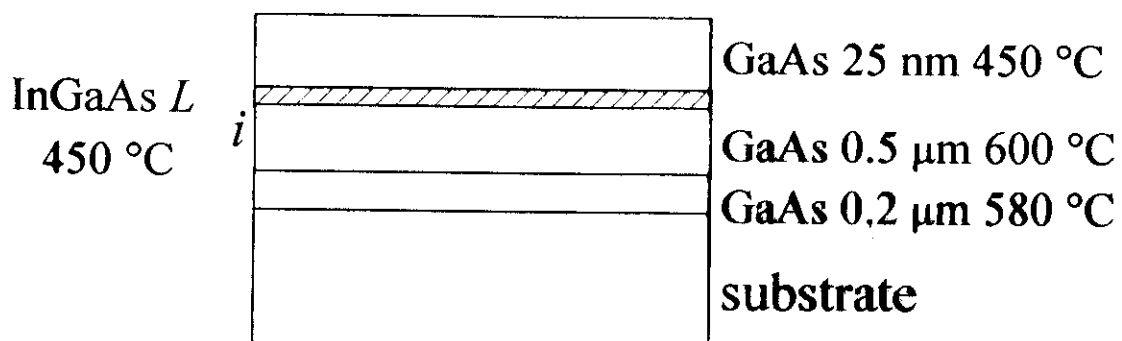
SEM: A. Nogaret  
(on Glasgow High Res. Instrument)



**Figure 1(d)** SEM image of surface of 1.7 monolayers of InAs on GaAs (square size  $\sim 4500 \text{ \AA} \times 4500 \text{ \AA}$ ). This is close to the critical thickness to obtain a uniform coverage of dots and narrow size distribution.

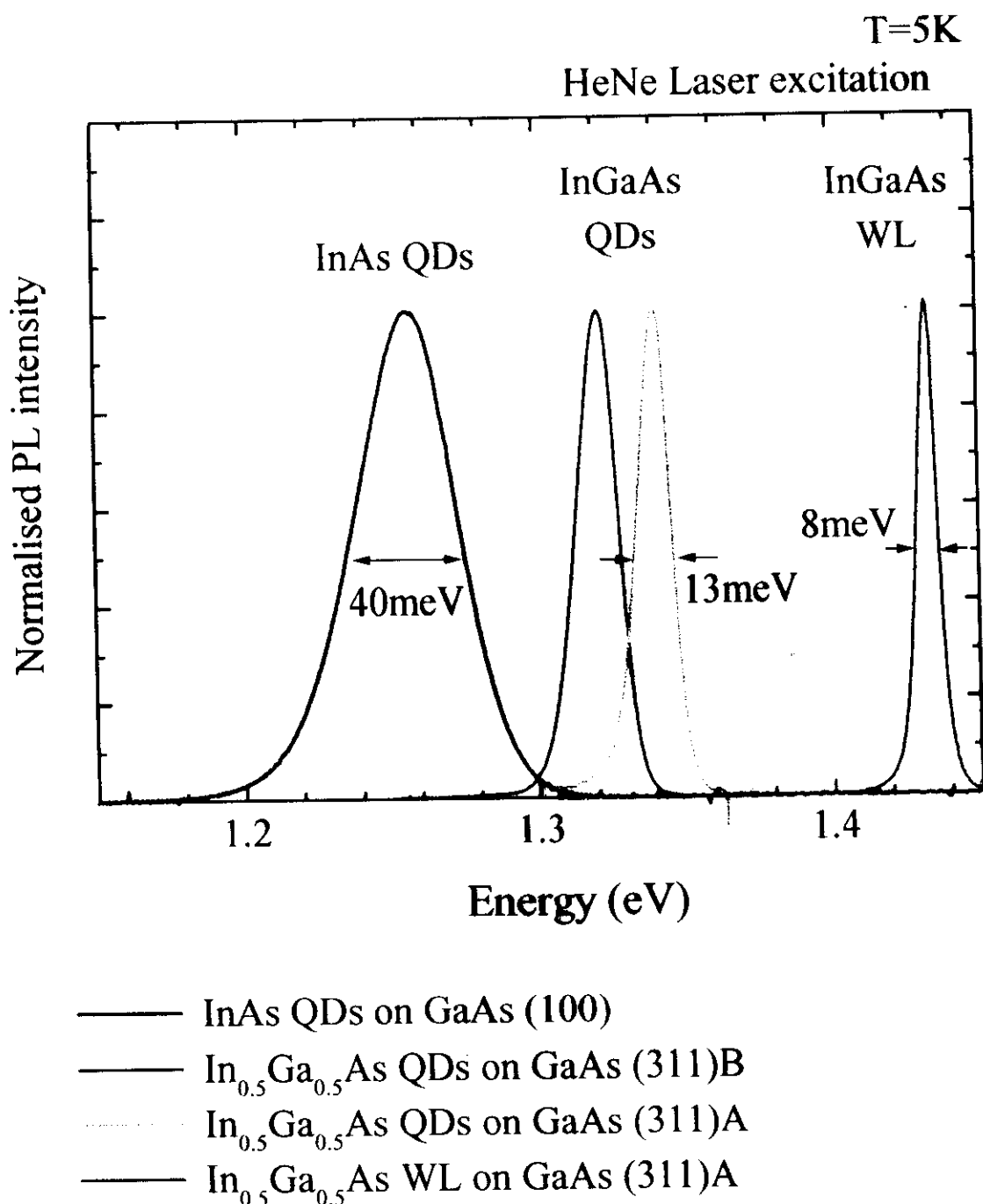
# Samples

**In<sub>0.5</sub>Ga<sub>0.5</sub>As/GaAs heterostructures grown on  
(100), (311)B, (311)A substrates**

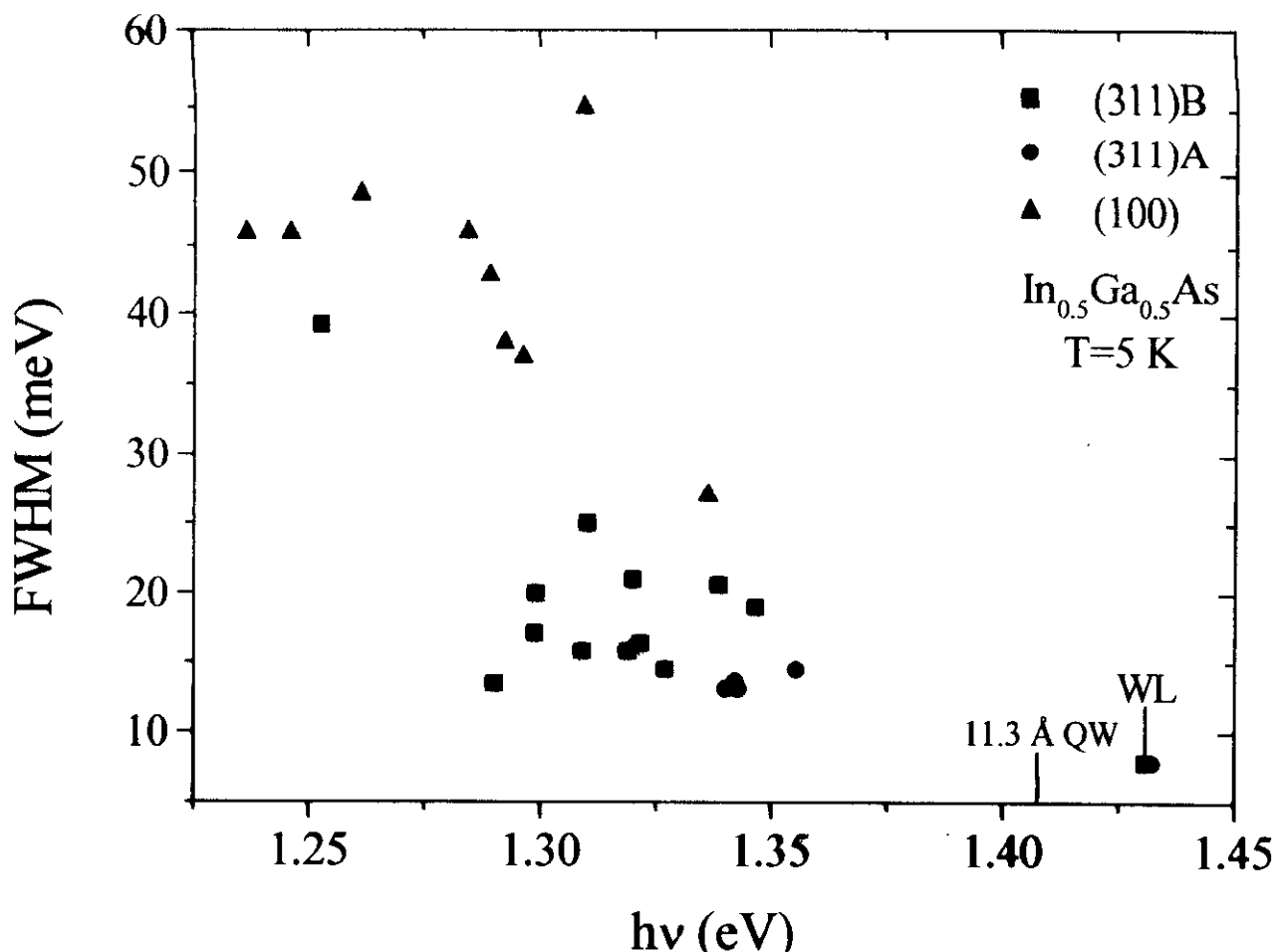


$L=11.3 \text{ \AA}$       RHEED 2D - 3D      QD  
 $L=6.8 \text{ \AA}$       RHEED      2D      WL

# PL Spectra



# Nottingham samples



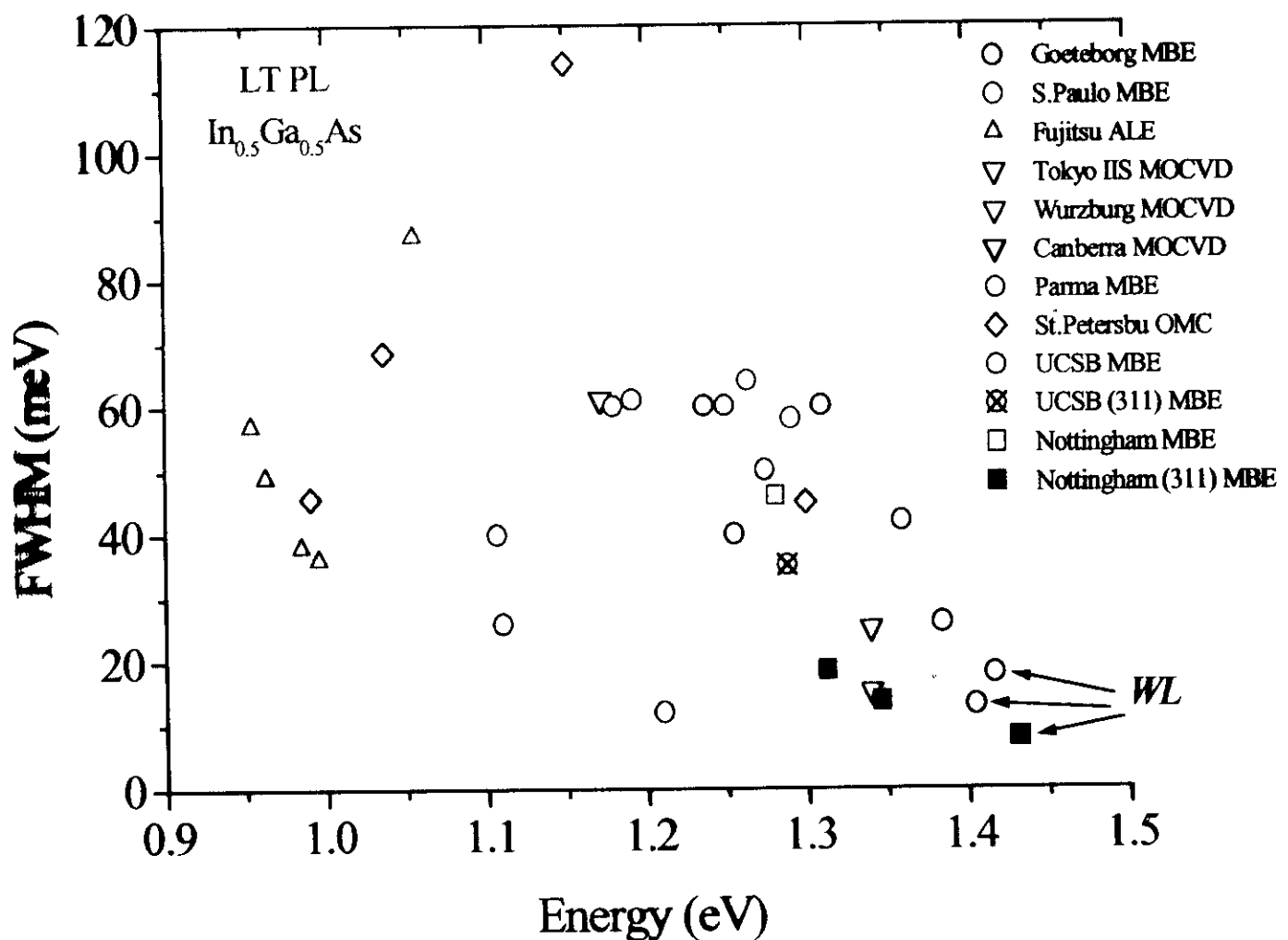
Good reproducibility and small linewidth

$$\begin{array}{ll}
 \langle h\nu \rangle_{(311A)} = 1.346 \text{ eV} & \langle \text{FWHM} \rangle_{(311A)} = 13.6 \text{ meV} \\
 \langle h\nu \rangle_{(311B)} = 1.312 \text{ eV} & \langle \text{FWHM} \rangle_{(311B)} = 18.5 \text{ meV} \\
 \langle h\nu \rangle_{(100)} = 1.281 \text{ eV} & \langle \text{FWHM} \rangle_{(100)} = 40 \text{ meV}
 \end{array}$$

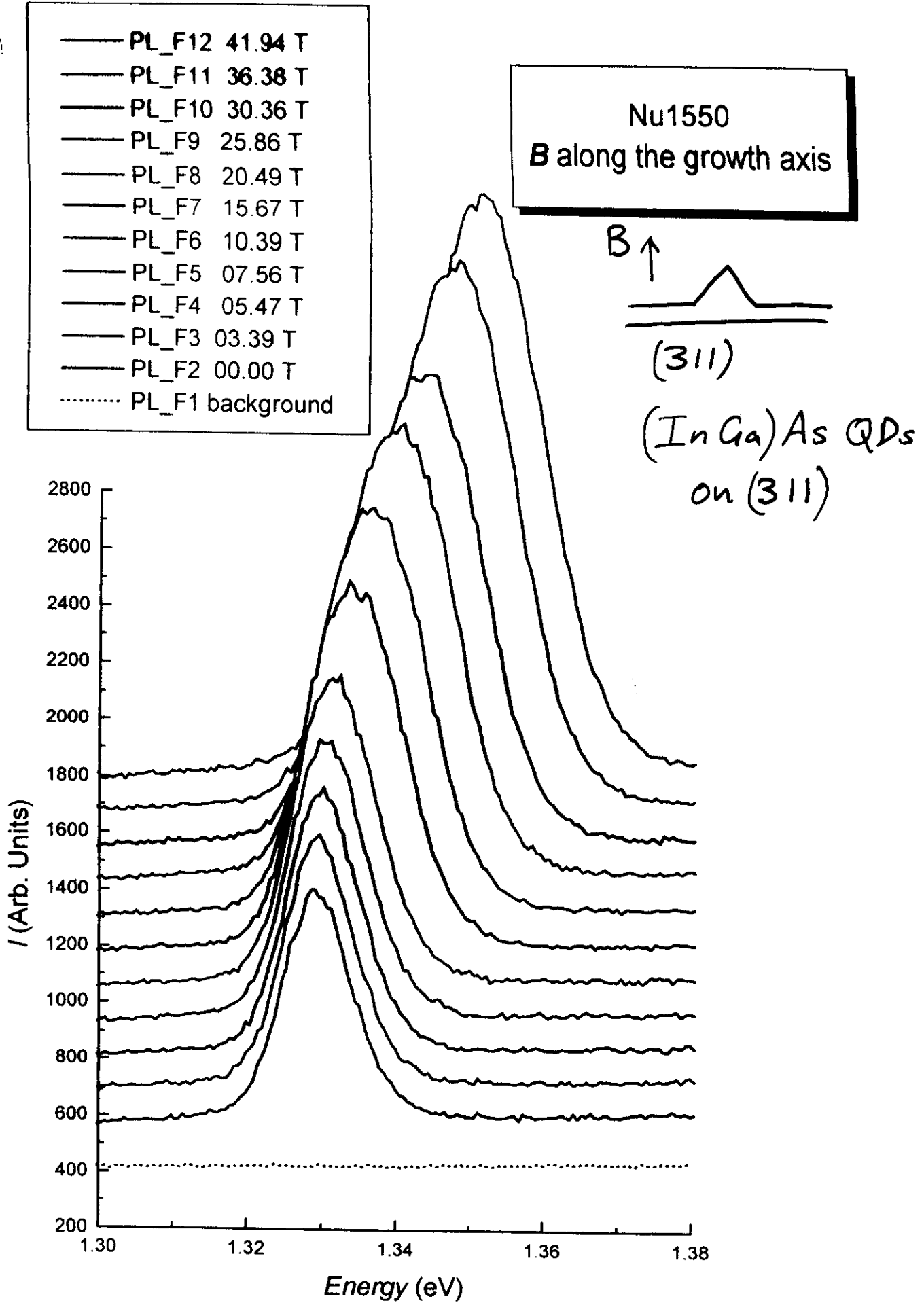
60% of strain release for (311)B  
 40% " (311)A  
 is to be supposed for explaining a WL red-shift

NO PL efficiency decrease has been observed

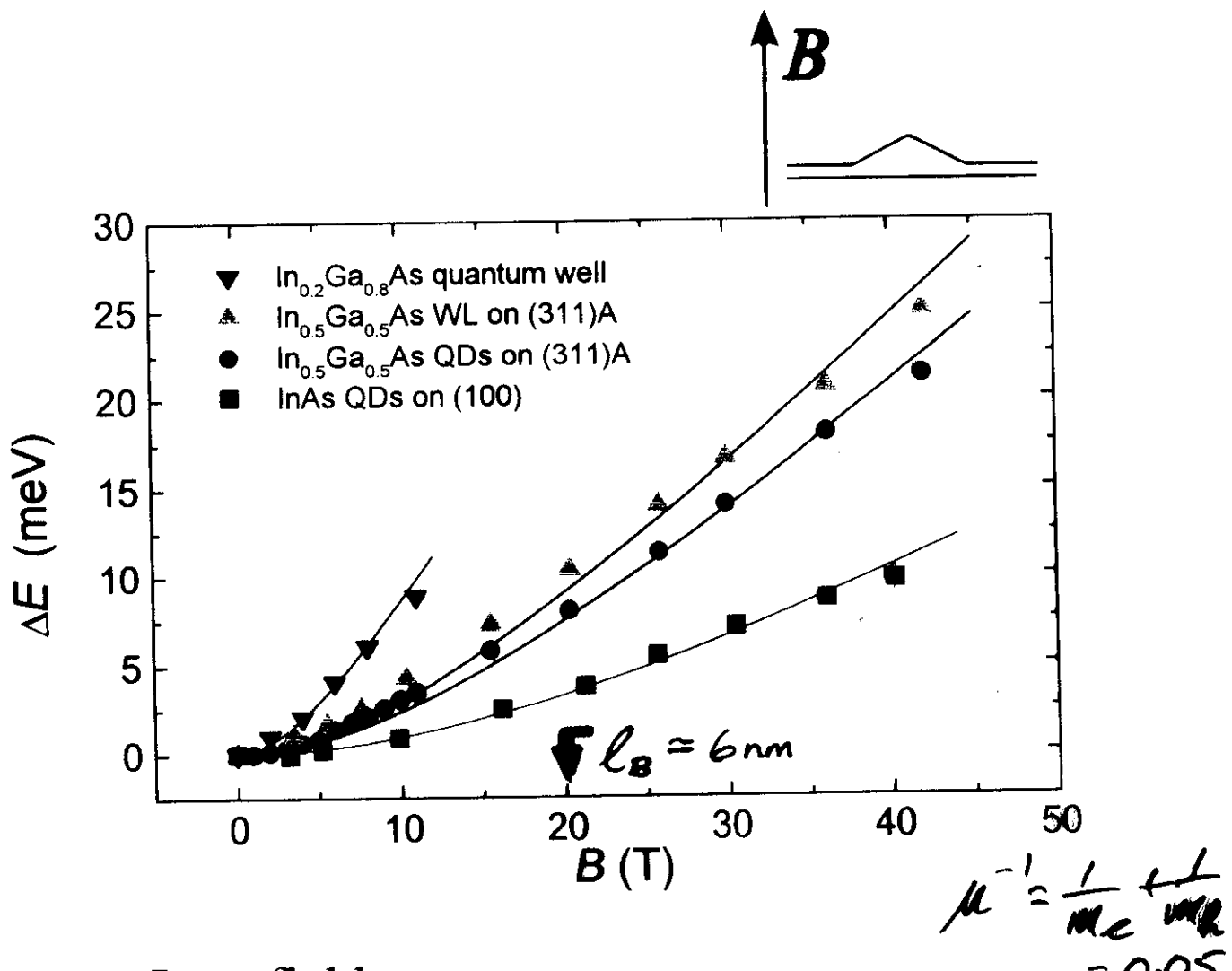
# Different groups and growth techniques



The spectra do not show the WL emission



# $B$ parallel to growth direction



- Low field :

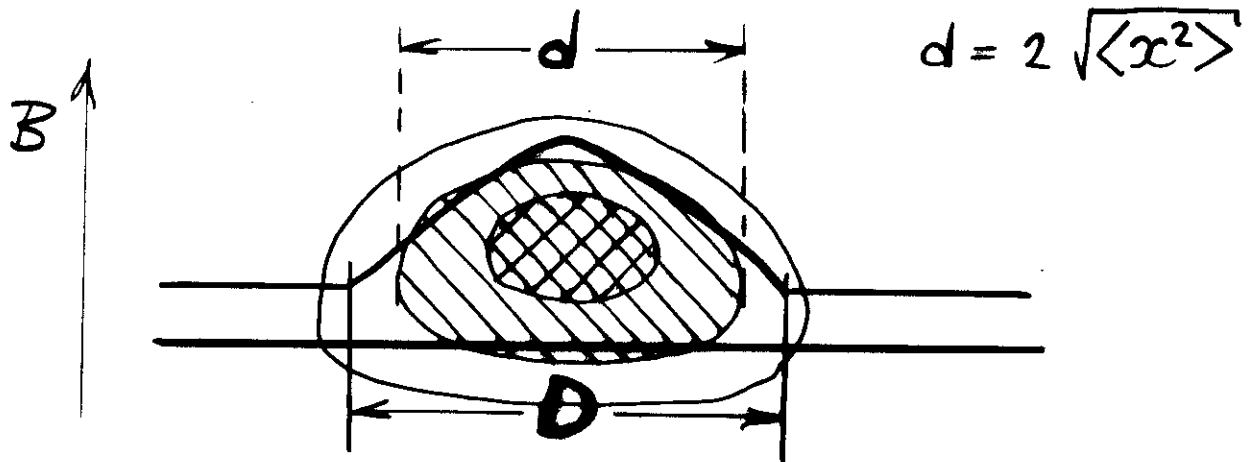
Diamagnetic shift      
$$\Delta E = \frac{1}{4} \frac{e^2 \langle x^2 \rangle}{\mu} B^2$$

- High field :

Landau level      
$$\Delta E = \frac{1}{2} \hbar \omega_c = \frac{1}{2} \frac{\hbar e}{\mu} B$$

• Magnetic length : 
$$\ell_B = \left( \frac{\pi}{eB} \right)^{1/2}$$

# $B$ parallel to growth direction



	$d$ (nm)	$D$ (nm)
InAs QDs on (100)	6	10-12
In <sub>0.5</sub> Ga <sub>0.5</sub> As QDs on (311)A	13	5-8
In <sub>0.5</sub> Ga <sub>0.5</sub> As WL on (311)A	14	-

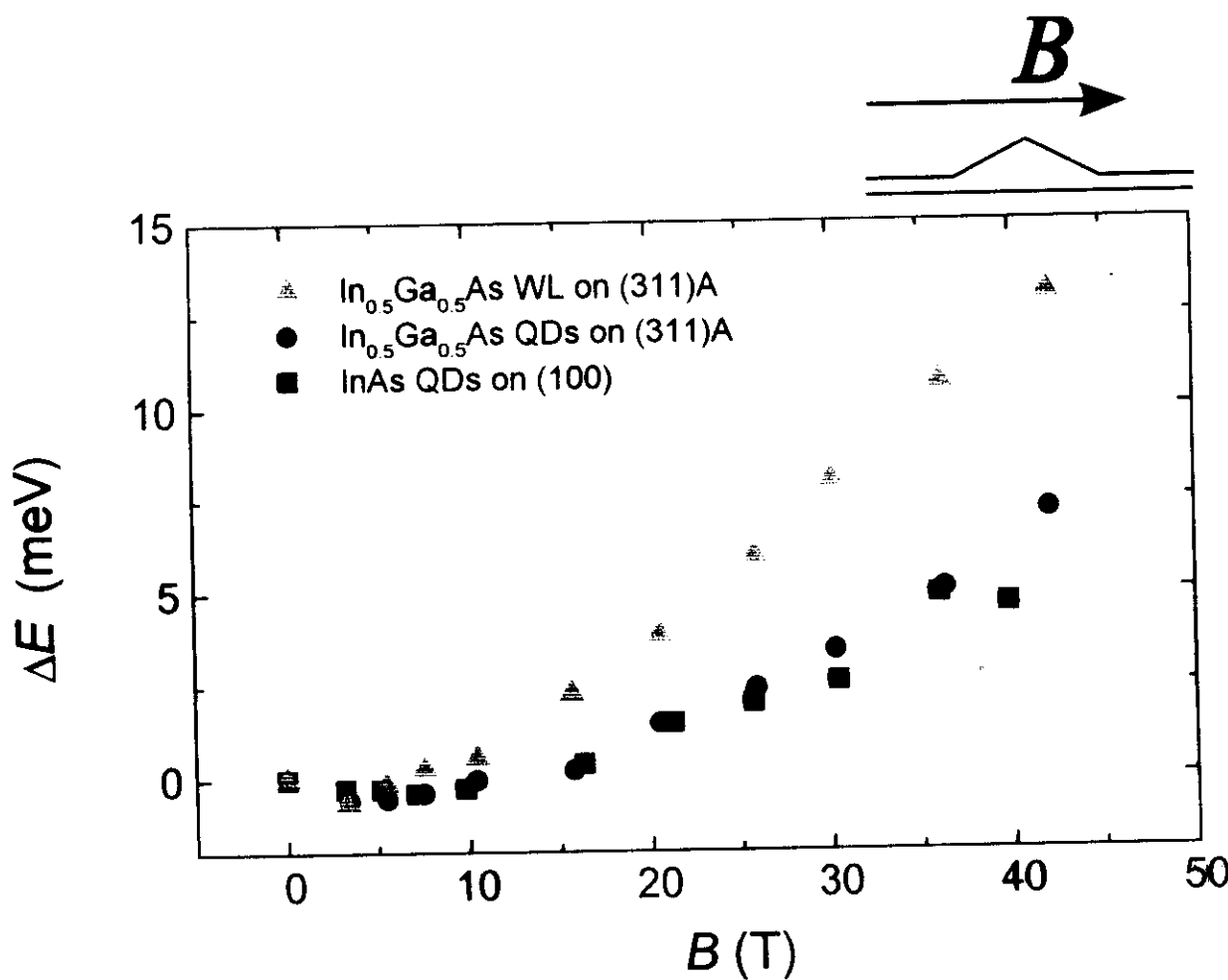


InAs QD on (100)



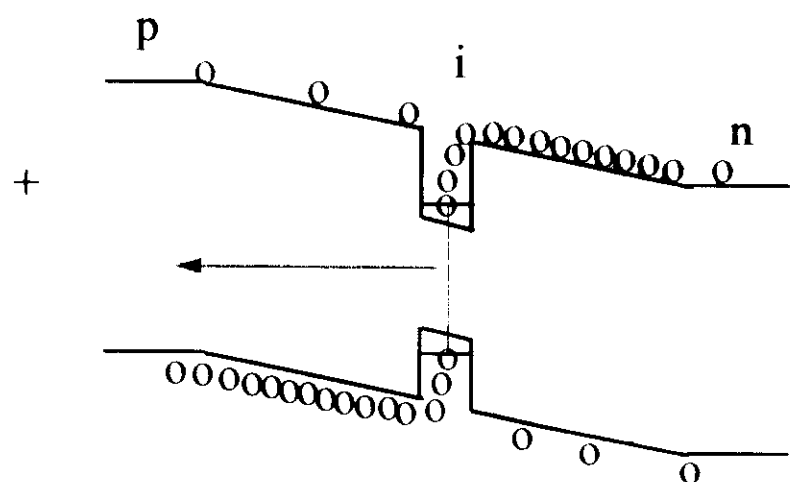
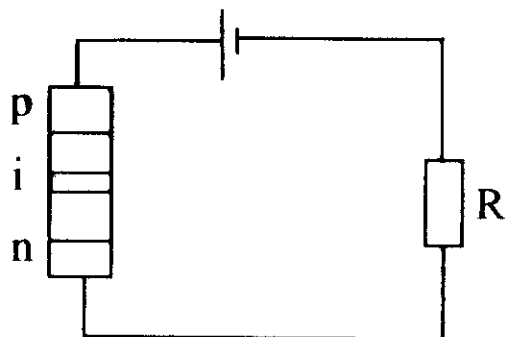
In<sub>0.5</sub>Ga<sub>0.5</sub>As QD  
on (311)A/B

# **$B$** perpendicular to growth direction



- Diamagnetic shift strongly anisotropic.
- $\Delta E < 0$  for  $B < 10\text{T}$ .
- No difference between InAs and  $\text{In}_{0.5}\text{Ga}_{0.5}\text{As}$  dots.

# EL on p-i-n diodes

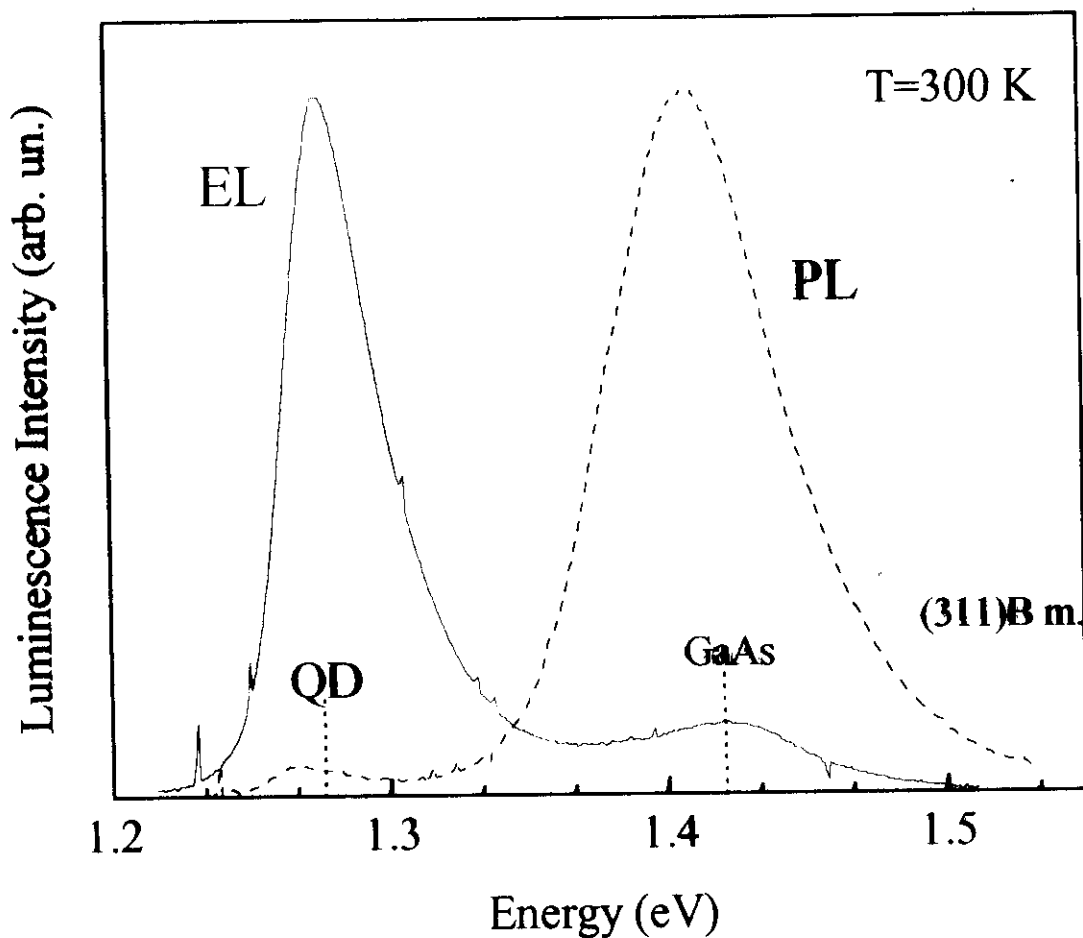


- More than 40 diodes measured
- Luminescence as a function of I and T

In collaboration with G. Hill  
University of Sheffield

# EL and PL at room temperature

In<sub>0.5</sub>Ga<sub>0.5</sub>As QD



Light sources at RT

# PROCESSING OF RIB WAVEGUIDE LASERS

**Evaporate front p-type contact stripes and anneal**



**Reactive ion etch waveguide ribs using contacts as mask**



**Deposit silicon nitride and pattern windows on rib contacts**



**Evaporate bond pads over ribs**



**Thin sample to 100μm**



**Evaporate rear n-contact and anneal**



**EPSRC III-V Central Facility**

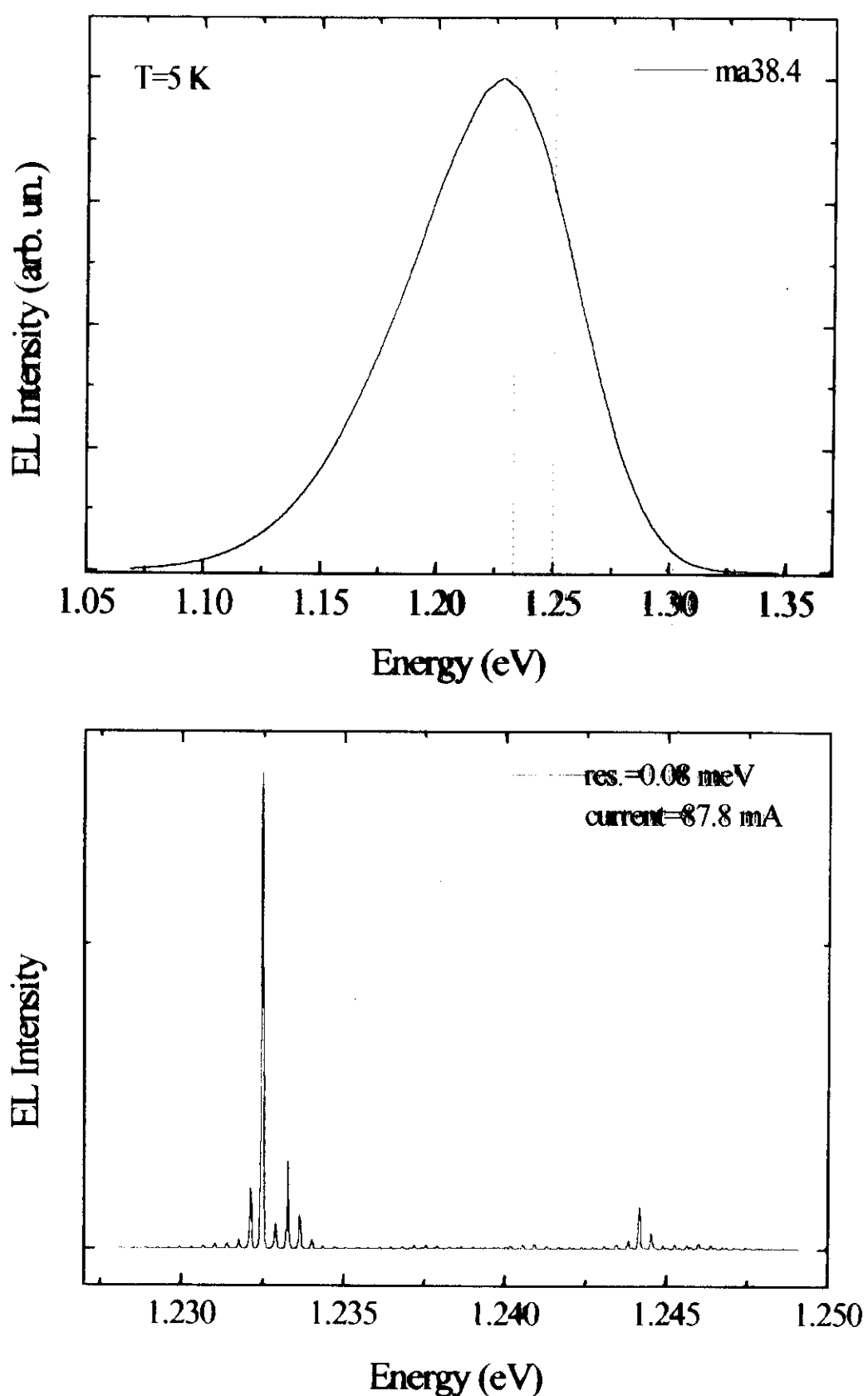
# QUANTUM DOT WAVEGUIDE LASER



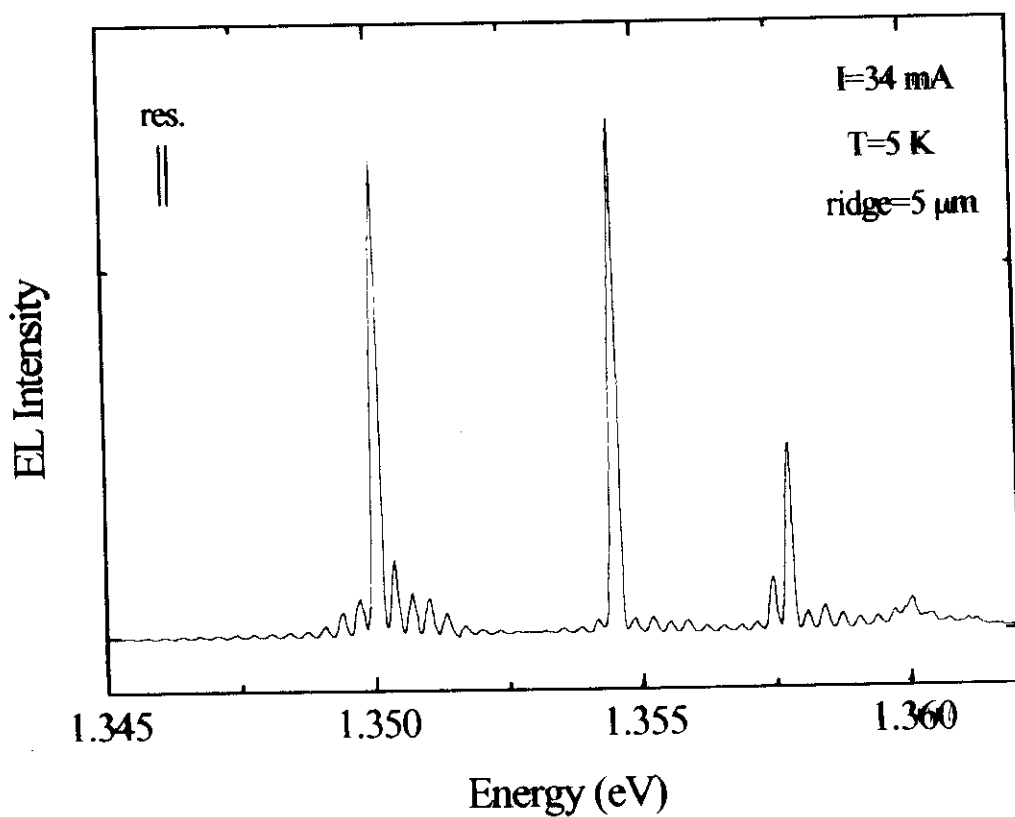
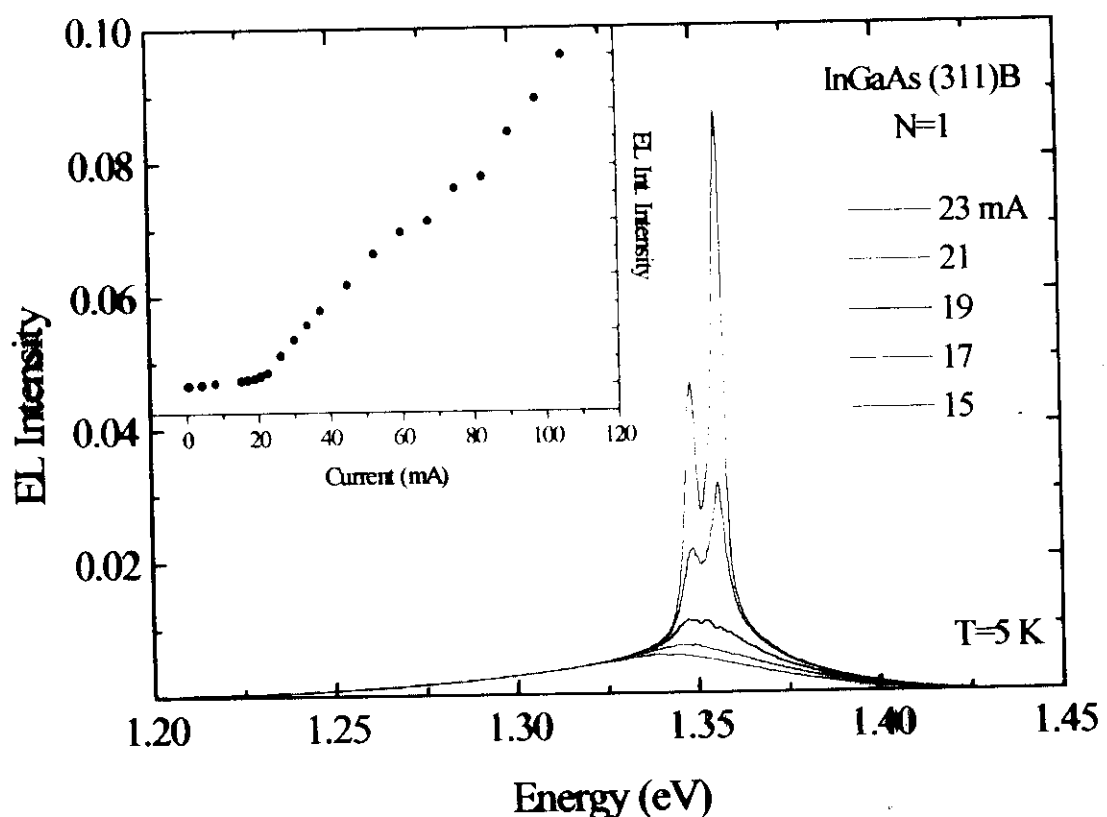
EPSRC III-V Central Facility

# $\text{In}_{0.5}\text{Ga}_{0.5}\text{As QD LASER on (100)}$

## 10 layers



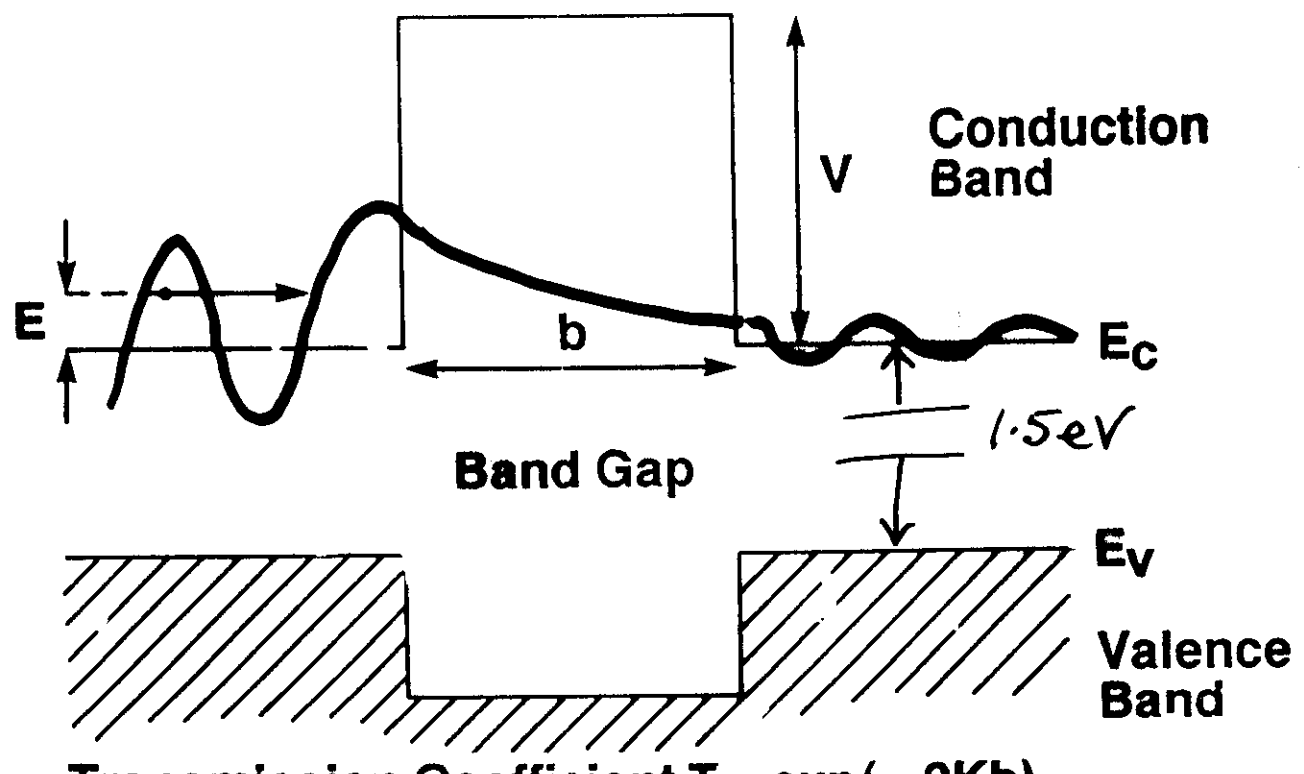
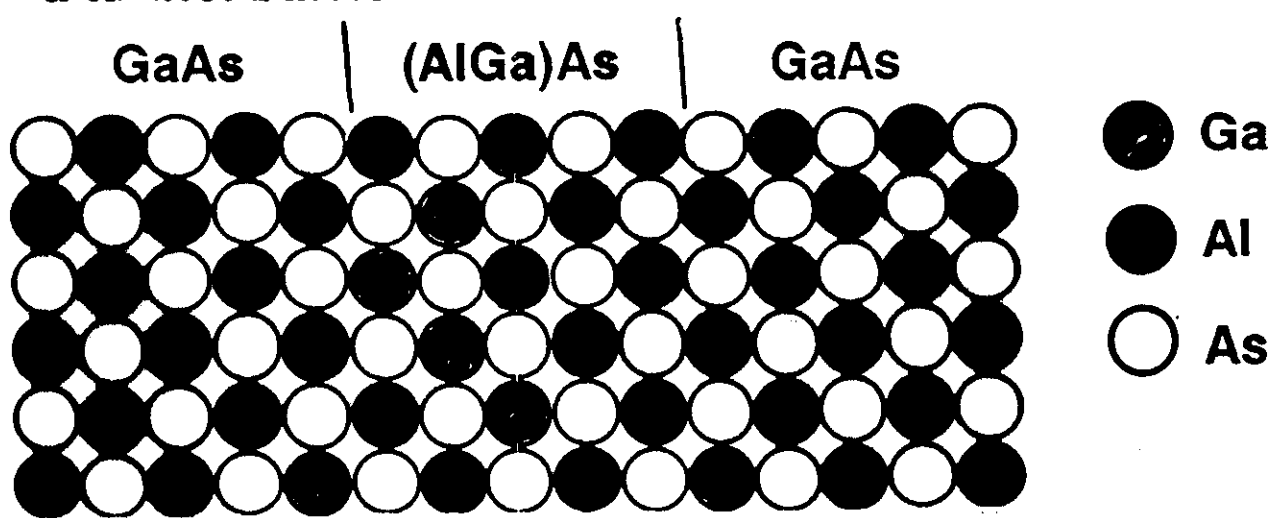
InGaAs QD LASER  
single layer on (311)B



# Conclusions

- Bright and narrow PL from  $\text{In}_{0.5}\text{Ga}_{0.5}\text{As}$  QDs on (311)A/B substrates.
- Exciton strongly confined in InAs QDs.
- $\text{In}_{0.5}\text{Ga}_{0.5}\text{As}$  QD exciton spreads into wetting layer.
- $\text{In}_{0.5}\text{Ga}_{0.5}\text{As}$  QDs promising for laser applications.

- a tunnel barrier for conduction electrons



$$K = [2m^*(V - E)]^{1/2}/\hbar$$

$$T \sim 10^{-2} \text{ to } 10^{-1}$$

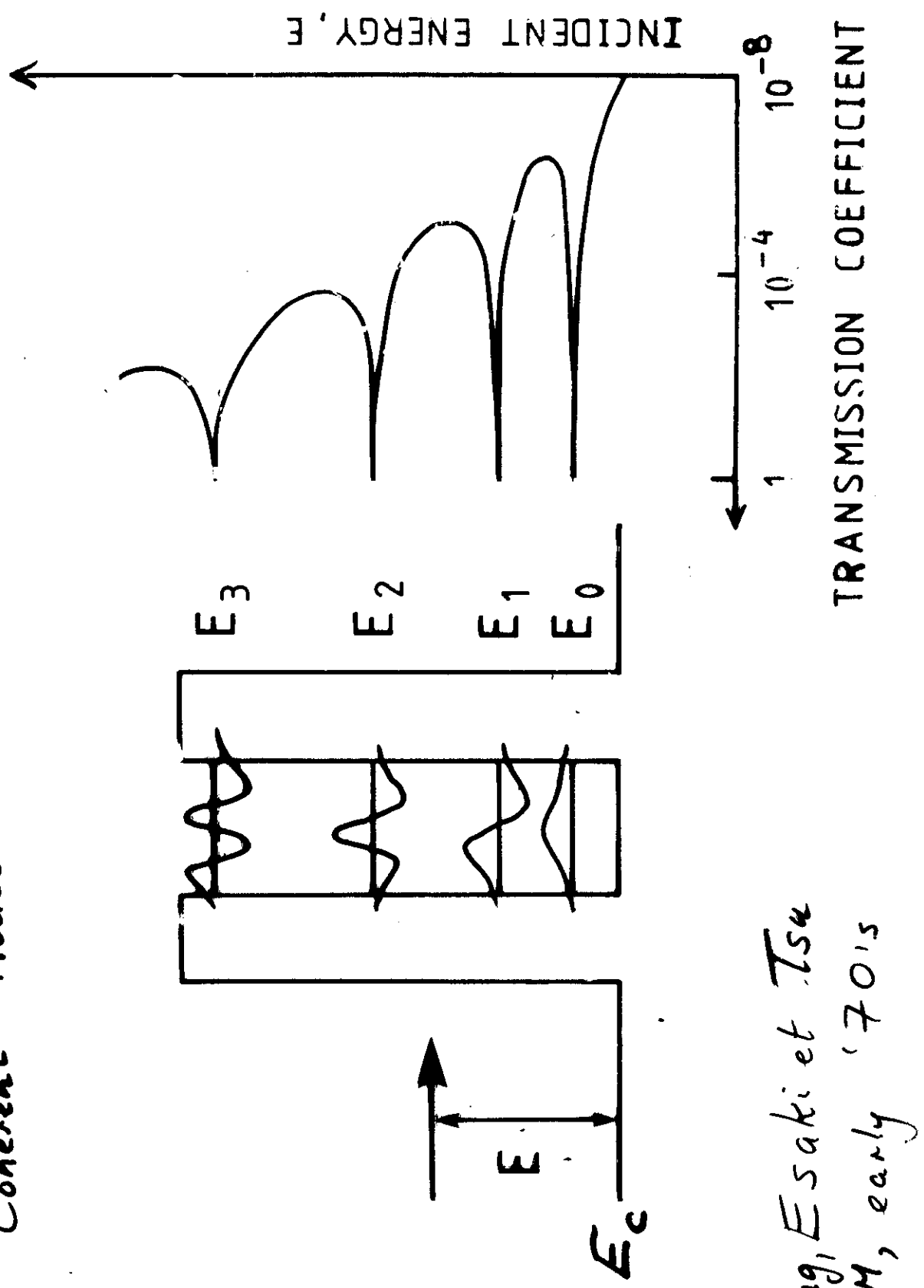
typically

$$m^* = 0.1 m_e$$

$$V = \Delta E_C \approx 0.3 \text{ eV for } x = 0.4$$

$$b = 1 - 10 \text{ nm typically}$$

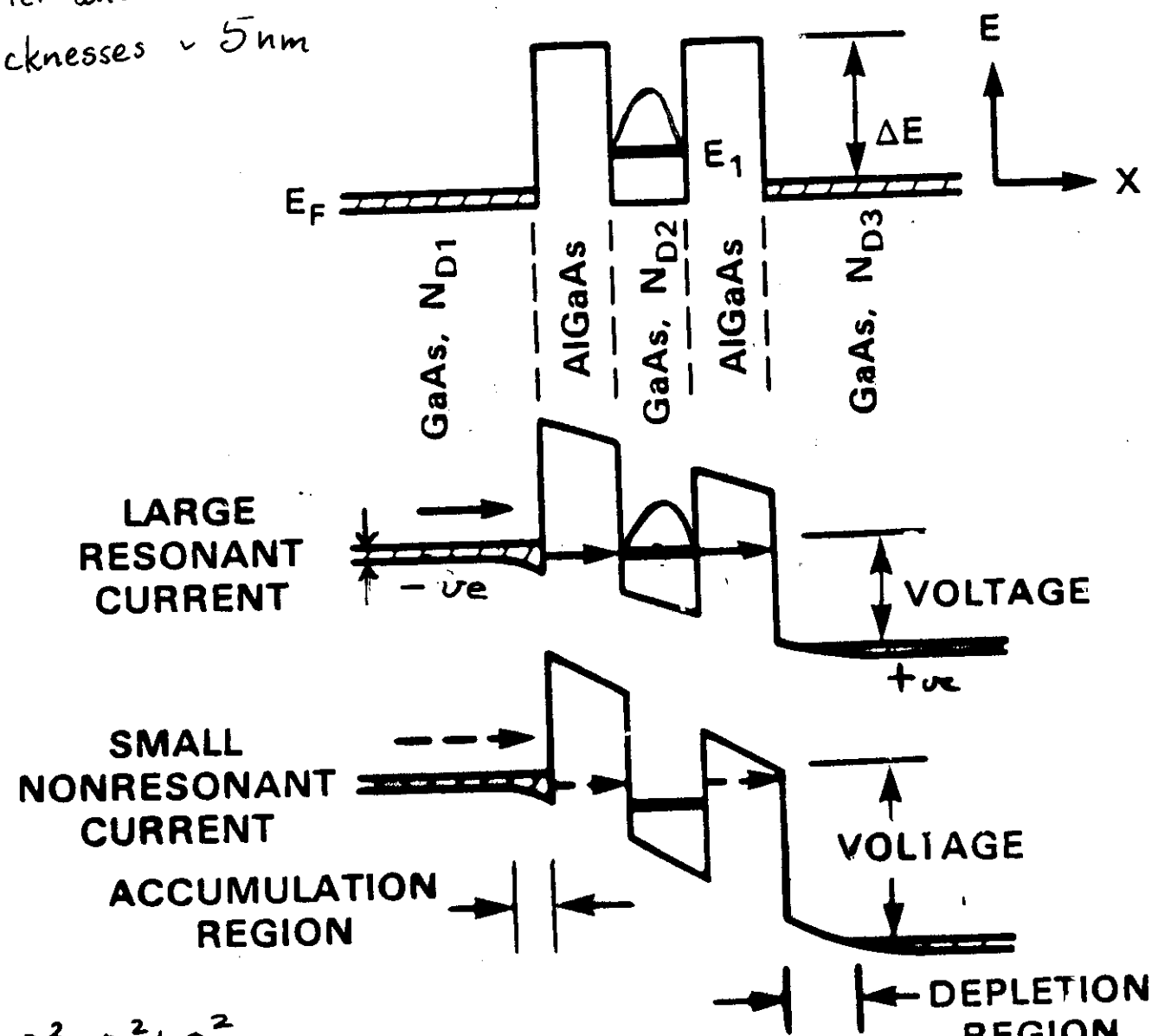
"Coherent" Model



Chang, Esaki et Tsu  
T6H, early '70's



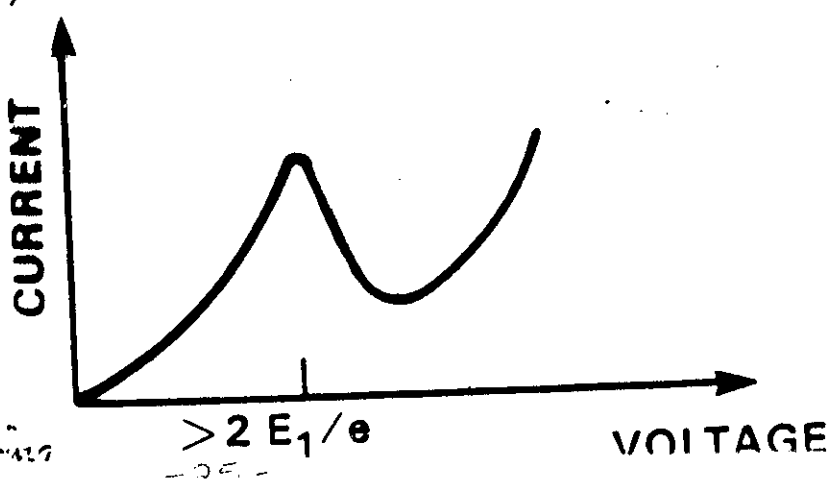
Barrier and Well  
Thicknesses  $\sim 5\text{ nm}$

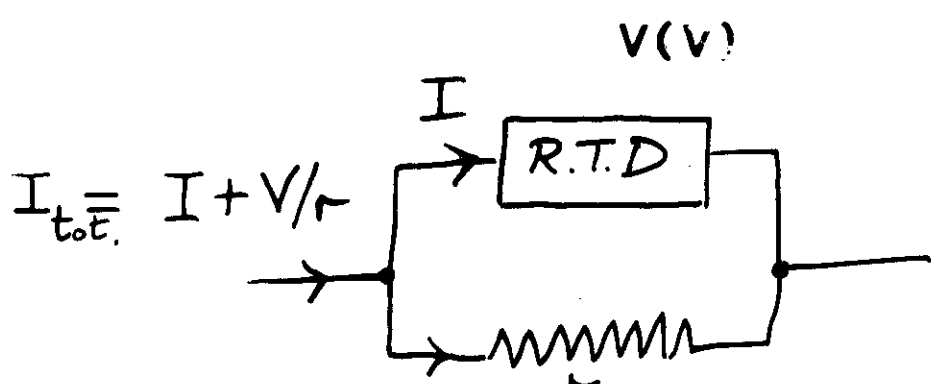
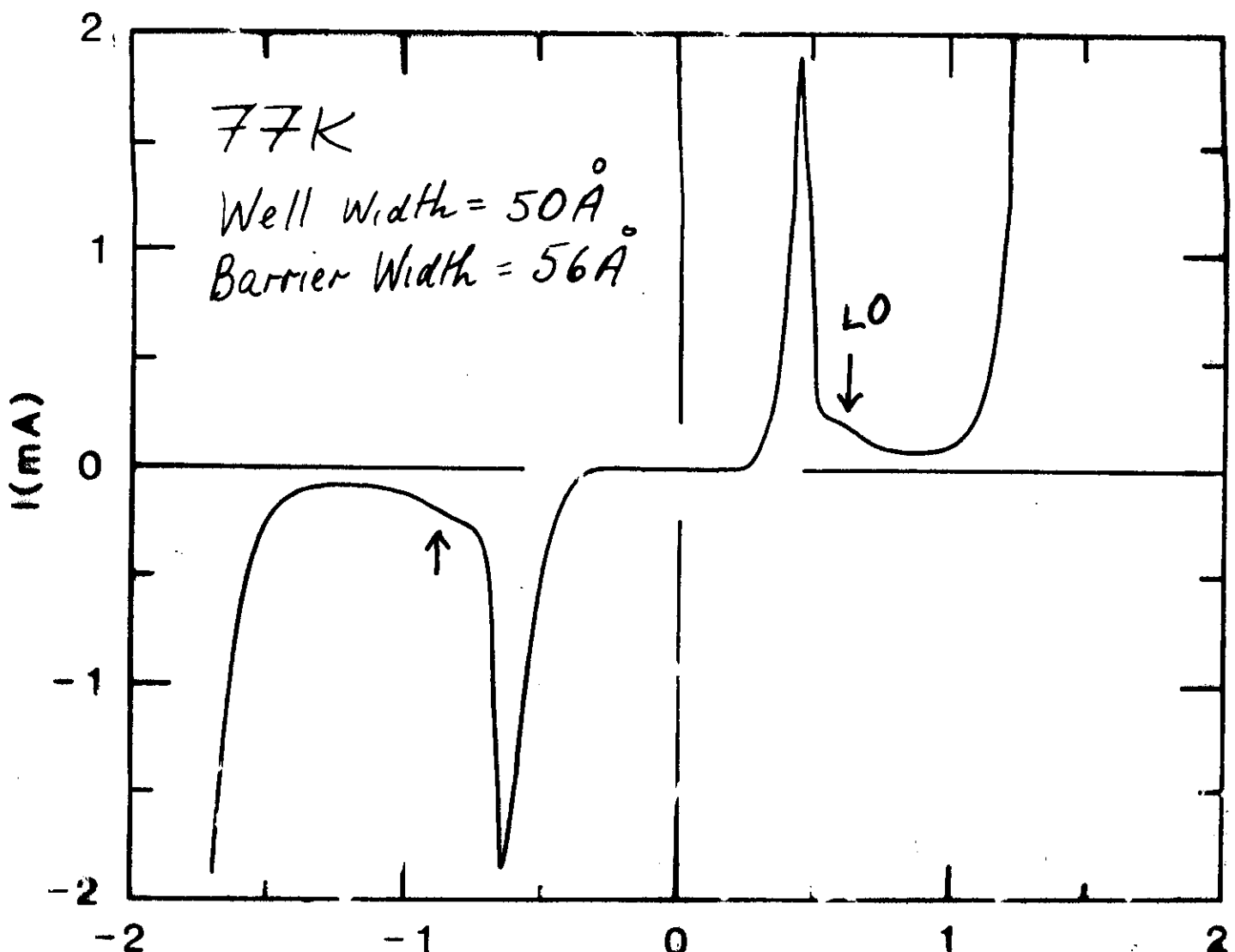


$$H = \frac{p_x^2 + p_y^2 + p_z^2}{2m} + V(x)$$

$$[H, p_y] = [H, p_z] = 0$$

$p_y, p_z$  are good quantum numbers  
 $\therefore p_z$  is conserved  
 in absence of scattering

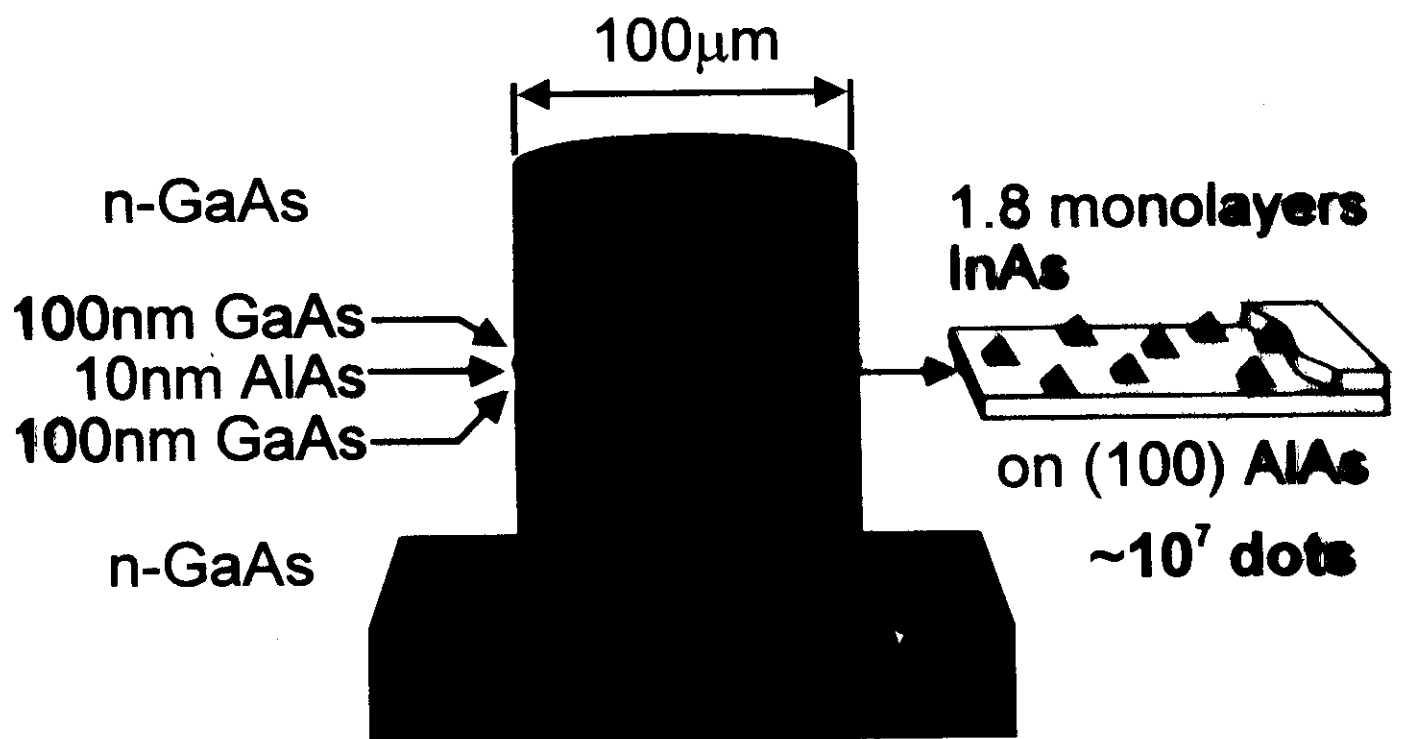




$$r < \left| \frac{dV}{dI} \right|$$

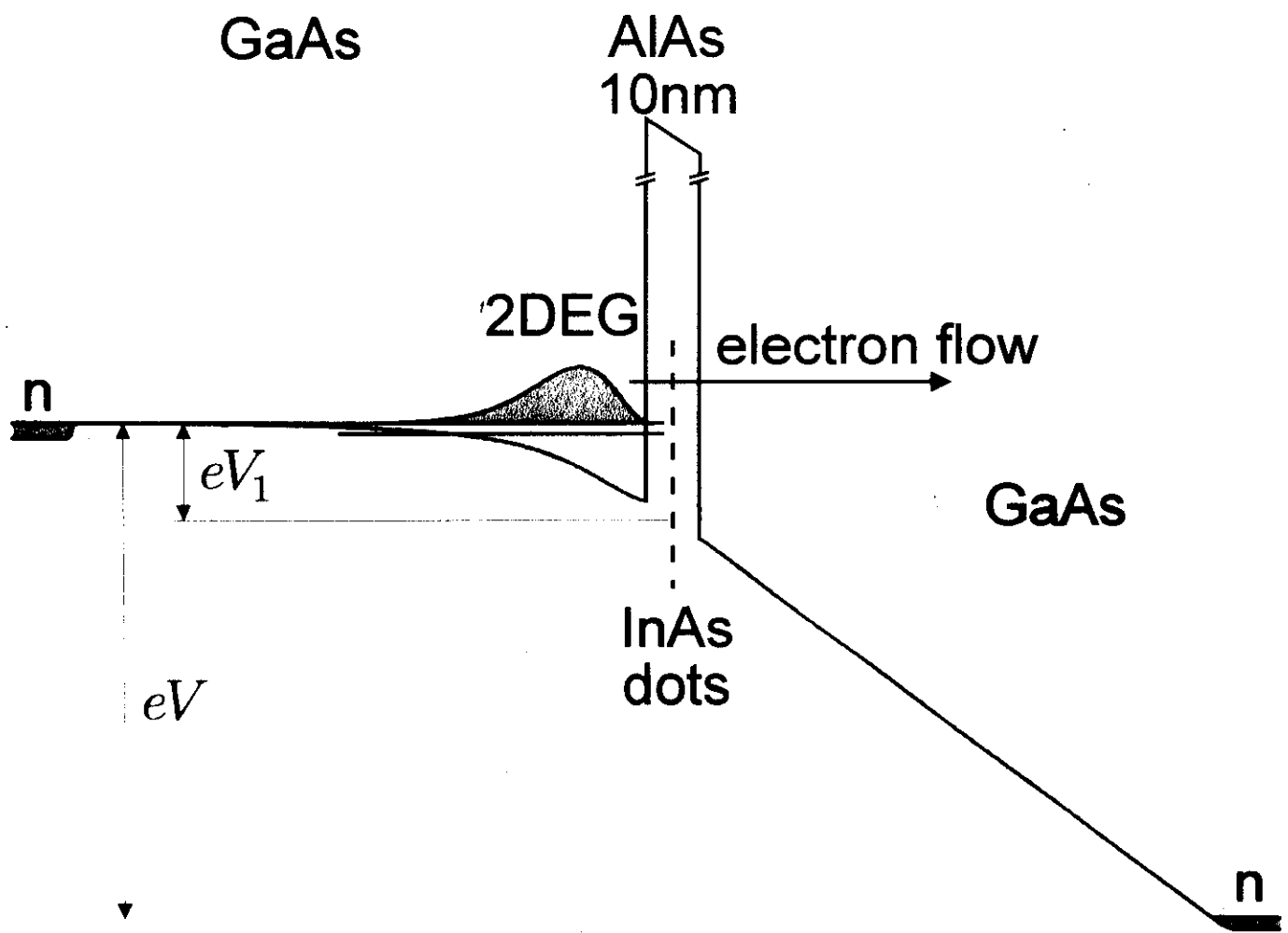
$$(r = 25\Omega)$$

# The Single-Barrier Tunnelling Resonant Device Incorporating InAs Quantum Dots



Itskevich et al Phys Rev B  
Narihiro et al A.P.L.

# Conduction band profile



electrostatic lever factor:  $f^{-1} := \frac{d V_1}{d V}$

# Single electron tunnelling through an individual InAs dot

$$I = ne\nu \frac{T_1 T_2}{T_1 + T_2}$$

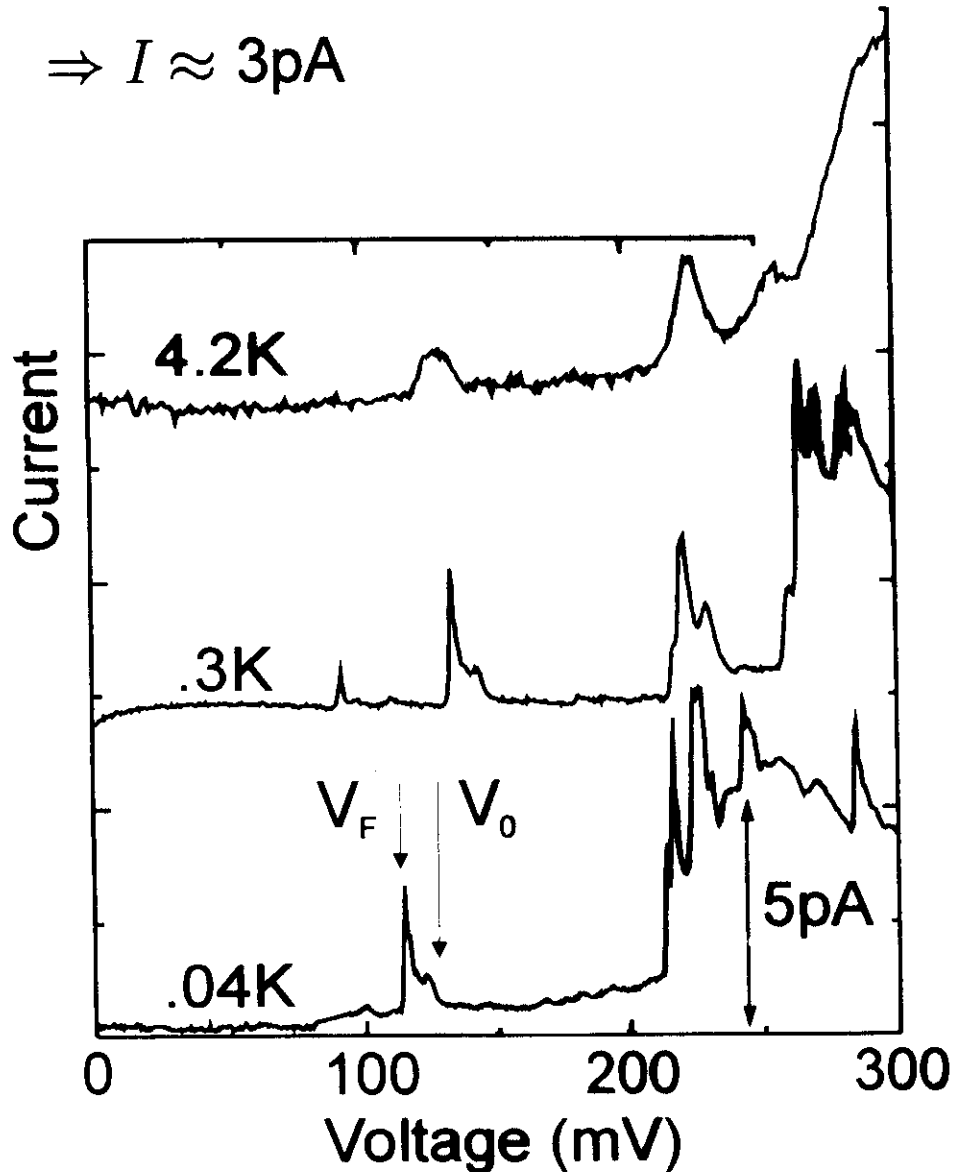
Single electron tunnelling current:

$$I = e\nu \exp(-2\kappa d)$$

take 800meV barrier,  $d=50\text{\AA}$ ,

$$\nu \sim E_{\text{conf}}/h \sim 2.5\text{THz}$$

$$\Rightarrow I \approx 3\text{pA}$$



# Temperature Dependence at 0T

